

УДК 532.5

РАСЧЕТ КОНВЕКТИВНОЙ НЕУСТОЙЧИВОСТИ В СЛОЕ ЖИДКОСТИ ПРИ НАЛИЧИИ НАКЛОННОГО ГРАДИЕНТА ТЕМПЕРАТУРЫ

Д. Незар, С. Рахал

Университет Хадж Лахдар, 05000 Батна, Алжир
E-mails: dnezar_lab@yahoo.fr, rahal.samir16@gmail.com

Проведено численное трехмерное моделирование конвективной неустойчивости в горизонтальном слое жидкости (силиконовое масло с числом Прандтля $Pr = 102$) со свободной поверхностью при наличии наклонного градиента температуры. Для слоев жидкости различной толщины изучено влияние гравитационных и термокапиллярных сил на формирование конвективных моделей. Показано, что полученные численные результаты хорошо согласуются с известными экспериментальными данными.

Ключевые слова: конвективная неустойчивость Бенара — Марангони, гравитационная сила, термокапиллярные силы, структуры, вычислительная гидродинамика.

DOI: 10.15372/PMTF20160309

Введение. В настоящее время конвективная неустойчивость Бенара — Марангони широко применяется в таких процессах, как выращивание кристаллов, нанесение пленочного покрытия, в экспериментах с жидкостями в условиях низкой гравитации. Исследования эффекта Бенара — Марангони проводились для изучения возникновения конвекции, образования структур и их динамики, задач хаоса и турбулентности и т. д. [1]. При конвективной неустойчивости Бенара — Марангони на возникающий слой жидкости со свободной поверхностью оказывает влияние изменение температуры в вертикальном направлении. Слой жидкости нагревается снизу и охлаждается сверху, вследствие чего возникают силы плавучести и поверхностного натяжения. При наличии конвекции, когда градиент температуры достигает критического значения, образуются структуры в виде многоугольных ячеек. В работе [2] приведены результаты исследований термокапиллярной конвекции Бенара, выполненные до 2002 г. В [3] термокапиллярная конвекция изучалась экспериментально.

В [4] численно исследовалось влияние чисел Прандтля и Био на волновое число, а также на структуру и размер областей устойчивости при конвекции Бенара — Марангони, возникающей в испаряющейся жидкости. В [5] численно изучалось влияние на течение чисел Прандтля и Био, параметра капиллярности и нелинейного профиля температуры.

В [6] экспериментально исследовались динамические структуры при конвекции Бенара — Марангони, рассматривалось влияние на течение коэффициента сжатия, чисел Рэлея, Био и Прандтля при проведении экспериментов на малых и средних установках. С использованием метода интерферометрии и полей температуры, найденных с помощью инфра-

красной термографии, визуализированы поля деформации. Обнаружено, что при увеличении числа Био скорость течения увеличивается, а при увеличении числа Прандтля — уменьшается. В [7] при тех же геометрических параметрах экспериментально изучались динамические режимы конвективного течения Бенара — Марангони при заданном значении числа Прандтля и значениях числа Марангони $Ma = 148 \div 3636$. Для определения различных динамических режимов использовались спектральный метод Фурье и автокорреляционная функция. При увеличении числа Марангони последовательно возникают монопериодическое, бипериодические и хаотические состояния. Также определялась корреляционная размерность странных аттракторов при хаотическом режиме.

Одновременное влияние на течение горизонтального и вертикального градиентов температуры, результатом которого является наклонный градиент, встречается во многих приложениях, таких как метод выращивания кристаллов и метод зонной плавки [8]. Влияние наклонного градиента температуры на термокапиллярное течение жидкости теоретически исследовалось в [9]. С использованием результатов линейного анализа устойчивости и нелинейного моделирования обнаружены наклонные бегущие волны. В [8, 9] с помощью трехмерного численного моделирования изучались конвективные режимы и были обнаружены структуры в виде шестиугольных и четырехугольных ячеек. Экспериментальное исследование конвективного течения Бенара — Марангони при наличии наклонного градиента температуры проводилось в [10]. В [11] на вертикальном ударном стенде исследовалось влияние гравитации на конвективное течение Марангони в слое жидкости малой толщины при наличии наклонного градиента температуры. В наземных экспериментах при различных значениях “горизонтального” и “вертикального” чисел Марангони обнаружено несколько структур: конвекция Бенара — Марангони, плавающие ячейки Бенара, спиралевидные потоки и горизонтальная циркуляция. В [12] с использованием энергетического метода анализировалось конвективное течение вязкоупругой жидкости в тонком горизонтальном слое при наличии наклонного градиента температуры в предположении, что границы являются жесткими и абсолютно проводимыми, выполнен линейный и нелинейный анализ устойчивости, с помощью итерационного метода Чебышева решалась задача на собственные значения и проведено сравнение результатов, полученных с использованием линейной теории и энергетического метода.

В [13] исследовалось влияние горизонтальной компоненты градиента температуры на нелинейный режим колебаний конвективного течения Марангони в симметричной трехслойной системе. Также изучен переход одного режима в другой. В [14] численно исследовалось влияние чисел Прандтля $Pr = 0,026 \div 1,000$, соответствующих жидким металлам, на конвективное течение, а также неустойчивость течения в горизонтальном слое жидкости при наличии наклонного градиента температуры. Слой жидкости располагался между двумя жесткими горизонтальными стенками, на которые воздействовал вертикальный градиент температуры. В [15] экспериментально исследовался переход от нестационарного течения к хаосу при наличии термокапиллярной конвекции в прямоугольном бассейне, заполненном силиконовым маслом, при различных динамических состояниях и температуре стенок бассейна $273 \div 316$ К. Критерии перехода от неустановившегося течения к хаосу получены с использованием теории подобия. При различных экспериментальных условиях обнаружены периодический режим и дорожки Фейгенбаума и установлена зависимость частоты колебаний от числа Марангони. Аналогичное исследование выполнено в [16].

В настоящей работе проводилось численное моделирование структуры конвективного течения Бенара — Марангони в тонком слое силиконового масла при наличии наклонного градиента температуры с использованием пакета Fluent-CFD. Кроме того, результаты численных расчетов сравнивались с известными экспериментальными данными для тех же граничных условий.

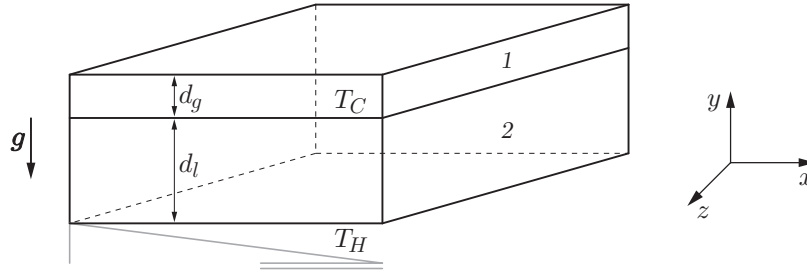


Рис. 1. Схема области течения:
1 — воздух, 2 — силиконовое масло

1. Численное моделирование. Рассмотрим конвективное течение в замкнутом объеме размером $0,135 \times 0,135 \times 0,100$ м жидкого силиконового масла (толщина слоя d_l , $Pr = 102$) (рис. 1). Снизу слой поддерживается при температуре T_H , сверху охлаждается слоем воздуха толщиной d_g до температуры T_C . Полагается, что поверхность жидкости горизонтальна и слои масла и воздуха не перемешиваются. Общая толщина составляет $d = d_l + d_g$. Жидкий слой подвержен влиянию горизонтального градиента температуры $0,019$ К/м. Другие стенки считаются адиабатическими.

Силиконовое масло при температуре 298 К имеет следующие теплофизические свойства: плотность $\rho_0 = 935$ кг/м³, кинематическая вязкость $\nu = 10^{-5}$ м²/с, динамическая вязкость $\eta = 9,35 \cdot 10^{-3}$ кг/(м·с), теплопроводность $k = 0,13$ В/(м·с), теплоемкость $C_p = 1430$ Дж/(кг·К), температуропроводность $\chi = 9,77 \cdot 10^{-8}$ м²/с, число Прандтля $Pr = 102$, коэффициент теплового расширения $\beta = 1,08 \cdot 10^{-3}$ К⁻¹.

2. Математическая и численная модели. С использованием однослойной модели численно решается трехмерная задача о течении слоя силиконового масла при наличии наклонного градиента температуры [17]. Поток полагается ламинарным, свободная поверхность — плоской. Задача описывается связанными уравнениями Навье — Стокса для несжимаемой жидкости и уравнением теплопроводности в слое жидкости с соответствующими начальными и граничными условиями на стенках и свободной поверхности. Система дифференциальных уравнений включает следующие уравнения:

— уравнение неразрывности

$$\nabla \cdot \mathbf{V} = 0;$$

— уравнение импульса

$$\rho_0 \left(\frac{\partial \mathbf{V}}{\partial t} + (\mathbf{V} \cdot \nabla) \mathbf{V} \right) = -\nabla P + \eta \Delta \mathbf{V} + \rho_0 \beta (T - T_0) \mathbf{g};$$

— уравнение теплопроводности

$$\rho_0 C_p \left(\frac{\partial T}{\partial t} + (\mathbf{V} \cdot \nabla) T \right) = \nabla \cdot (k \nabla T).$$

Слой жидкости считается покоящимся при температуре окружающей среды T_0 . На жестких стенках задаются граничное условие непротекания

$$\mathbf{V} = \mathbf{0} \quad \text{при} \quad y = 0, 0 \leq x \leq L, 0 \leq z \leq L, \quad z = 0, L, 0 \leq x \leq L, 0 \leq y \leq d_l, \\ x = 0, L, 0 \leq z \leq L, 0 \leq y \leq d_l,$$

условие непроникания

$$\mathbf{V} \cdot \mathbf{n} = 0 \quad \text{при} \quad Y = d_l, 0 \leq x \leq L, 0 \leq z \leq L$$

и условие Марангони на свободной поверхности

$$\eta \frac{\partial V_x}{\partial y} = \sigma' \frac{\partial T}{\partial x}, \quad \eta \frac{\partial V_z}{\partial y} = \sigma' \frac{\partial T}{\partial z}.$$

Для уравнения теплопроводности ставятся следующие граничные условия:

— на боковых стенках

$$T = T_H \quad \text{при} \quad y = 0, \quad 0 \leq x \leq L, \quad 0 \leq z \leq L,$$

$$\frac{\partial T}{\partial x} = 0,019 \text{ К/м} \quad \text{при} \quad 0 \leq y \leq d_l, \quad 0 \leq z \leq L,$$

$$\frac{\partial T}{\partial n} = 0 \quad \text{при} \quad z = 0, L, \quad 0 \leq x \leq L, \quad 0 \leq y \leq d_l,$$

— условие теплопередачи через границу жидкость — воздух

$$k_l \frac{\partial T}{\partial y} = -\frac{k_g}{d_g} (T - T_0) \quad \text{при} \quad y = d_l, \quad 0 \leq x \leq L, \quad 0 \leq z \leq L.$$

В данной задаче рассматриваются два типа сил: сила Архимеда и термокапиллярная сила $\sigma' = \|d\sigma/dT\|$ ($\sigma(T) = \sigma_0 - \sigma'(T - T_0)$ — поверхностное натяжение жидкости), возникающая вследствие зависимости поверхностного натяжения от температуры. Эти силы характеризуются безразмерными числами Рэлея и Марангони соответственно:

$$\text{Ra} = \frac{g\beta\Delta T d^3}{\nu\chi}, \quad \text{Ma} = \frac{\sigma'\Delta T d}{\eta\chi}.$$

При описании течения внутри объема используется динамическое число Бонда $\text{Vd} = \text{Ra} / \text{Ma}$, соответствующее соотношению силы Архимеда и термокапиллярной силы. Для учета геометрии и свойств среды (жидкости или газа) используются следующие безразмерные параметры [10, 16]: $\Gamma = \sqrt{A}/d$ — геометрический параметр, $\text{Pr} = \nu/\chi$ — число Прандтля, $\text{Bi} = k_g d_l / (k_l d_g)$ — число Био.

Поток полагается ламинарным, свободная поверхность — плоской. Используется приближение Буссинеска, для дискретизации уравнений движения и теплопроводности — схема второго порядка вверх по потоку. Для решения связанной задачи давление — скорость применялся SIMPLE-алгоритм (полуявный метод) [18]. С помощью пакета Gambit строится однородная сетка в виде параллелепипеда. Для того чтобы оценить точность решения, использовались сетки с различным размером и количеством (500 000, 1 000 000, 3 000 000) ячеек.

В экспериментах, проведенных в настоящей работе, выбрана оптимальная для вычислений сетка, содержащая приблизительно 1 000 000 ячеек размером $4,55 \cdot 10^{-11} \text{ м}^3$.

3. Результаты исследования и их обсуждение. Сравнение некоторых полученных результатов с экспериментальными данными [16] показало, что они хорошо согласуются. На рис. 2 показаны структуры течения при различной толщине слоя силиконового масла с учетом эффекта Бенара — Марангони и градиента температуры. Как и предполагалось, с увеличением толщины слоя размер ячеек увеличивается. Также при увеличении толщины слоя силиконового масла ($d = 0,0017; 0,0025; 0,0029 \text{ м}$) увеличиваются число Марангони ($\text{Ma}_v = 733,97; 1079,37; 1252,07$) и число Рэлея ($\text{Ra} = 106,920; 982,757; 1533,980$). Динамическое число Бонда пропорционально толщине слоя силиконового масла. Чтобы оценить влияние плавучести на зависимость термокапиллярных сил от числа Бонда Vd для указанных выше значений толщины слоя силиконового масла выбраны значения $\text{Vd} = 0,42; 0,91; 1,22$ соответственно. При увеличении толщины слоя ячейки Бенара — Марангони вытягиваются в направлении термокапиллярного движения. На рис. 3

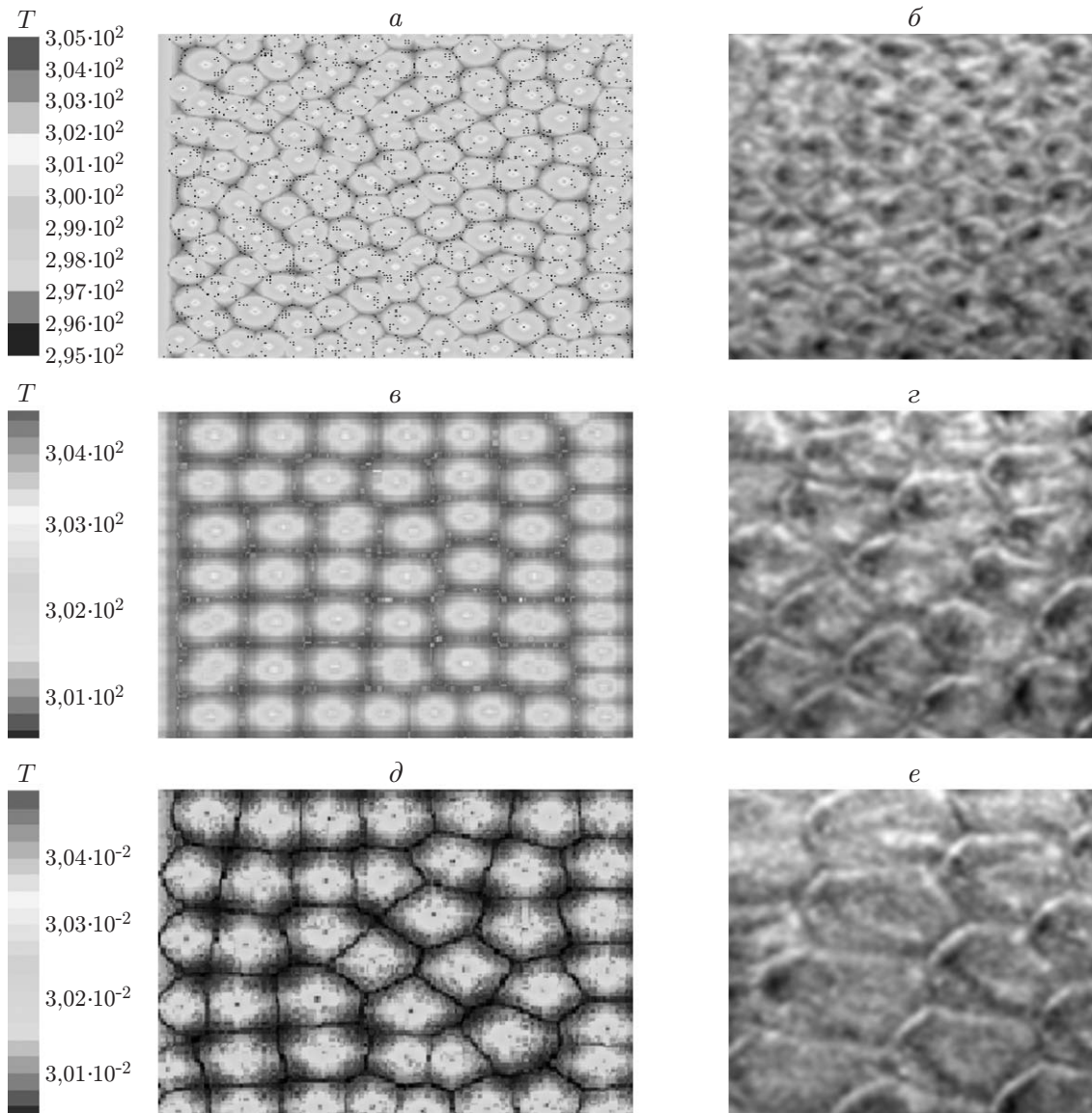


Рис. 2. Структуры конвективного течения Бенара — Марангони при наличии градиента температуры и различной толщине слоя жидкости:

a, в, д — численное моделирование, *б, г, е* — эксперимент [16]; *a, б* — $d_l = 0,0017$ м, *в, г* — $d_l = 0,0025$ м, *д, е* — $d_l = 0,0029$ м

показано, что влияние “горизонтального” числа Ma_h на течение более существенно, чем влияние “вертикального” числа Ma_v , вследствие чего ячейки движутся в направлении горизонтального градиента температуры, образуя параллельные линии, расположенные на одинаковом расстоянии друг от друга [10–16]. На рис. 3 также показано, что когда размер ячейки в продольном направлении становится равным горизонтальному размеру слоя, появляется новая структура течения.

На рис. 4 приведена зависимость скорости дрейфа ячеек Бенара — Марангони от толщины слоя жидкости, полученная при постоянных значениях вертикального и горизонтального градиентов температуры.

Заключение. В работе представлены результаты численного моделирования конвективной неустойчивости в силиконовом масле при различной толщине слоя и наличии

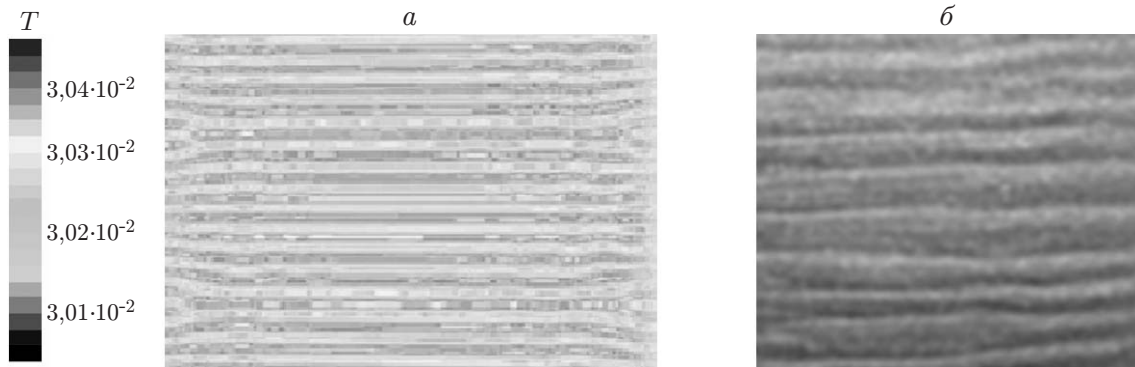


Рис. 3. Структура конвективного течения Бенара — Марангони с образованием горизонтальных полос при $d_l = 0,0032$ м, $Ma_v = 1381,59$, $Ra = 2061$, $Bd = 1,49$ и наличии градиента температуры:

a — численное моделирование, b — эксперимент [16]

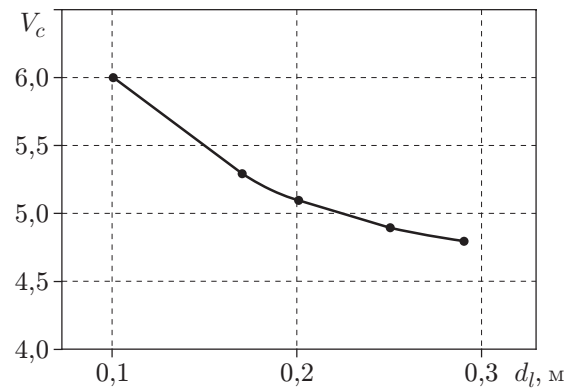


Рис. 4. Зависимость скорости дрейфа ячеек Бенара — Марангони от толщины слоя жидкости при постоянных значениях вертикального и горизонтального градиентов температуры

наклонного градиента. Изучалось влияние на течение сил плавучести и поверхностного натяжения.

При наличии градиента температуры в вертикальном направлении и достижении его критических значений (толщина слоя $d_l = 0,0017; 0,0025; 0,0029$ м) возникают структуры в виде ячеек Бенара — Марангони.

При увеличении толщины ($0,0032 \text{ м} < d_l < 0,0035 \text{ м}$) слоя жидкости структура течения меняется и возникают продольные полосы.

Проведенное сравнение полученных результатов с данными эксперимента [16] показало, что они хорошо согласуются.

ЛИТЕРАТУРА

1. **Lappa M.** Thermal convection: patterns, evolution and stability. Hoboken: John Wiley and Sons, 2010. DOI: 10.1002/9780470749982.
2. **Schatz M. F., Neitzel G. P.** Experiments on thermocapillary instabilities // Annu. Rev. Fluid Mech. 2001. V. 33. P. 93–127.
3. **Nepomnyashchy A. A.** Interfacial phenomena and convection / A. A. Nepomnyashchy, M. G. Velarde, P. Colinet. Boca Raton: Chapman and Hall: CRC, 2002.

4. **Merkt D., Bestehorn M.** Bénard — Marangoni convection in a strongly evaporating fluid // *Physica. D.* 2003. V. 185. P. 196–208.
5. **Chiang K. T.** Effect of a non-uniform basic temperature gradient on the onset of Bénard — Marangoni convection: stationary and oscillatory analyses // *Intern. Comm. Heat Mass Transfer.* 2005. V. 32. P. 192–203.
6. **Rahal S., Cerisier P., Azuma H.** Bénard — Marangoni convection in a small circular container: influence of the Biot and Prandtl numbers on pattern dynamics and free surface deformation // *Exp. Fluids.* 2007. V. 43. P. 547–554.
7. **Rahal S., Cerisier P., Abid C.** Transition to chaos via the quasi-periodicity and characterization of attractors in confined Bénard — Marangoni convection // *Europ. Phys. J. B.* 2007. V. 59. P. 509–518.
8. **Nepomnyashchy A. A., Simanovskii I. B., Braverman L. M.** Stability of thermocapillary flows with inclined temperature gradient // *J. Fluid Mech.* 2001. V. 442. P. 141–151.
9. **Shklyaev O. E., Nepomnyashchy A. A.** Thermocapillary flows under an inclined temperature gradient // *J. Fluid Mech.* 2004. V. 504. P. 99.
10. **Ueno I., Kurosawa T., Kawamura H.** Thermocapillary convection in thin liquid layer with temperature gradient inclined to free surface // *Heat Transfer.* 2002. N 2. P. 129–133.
11. **Takafumi K., Kawamura Hiroshi U.** The influence of gravity on Marangoni convection in a thin liquid layer with a temperature gradient inclined to the free surface // *J. Nihon Kikai Gakkai Kanto Shibu Sokai Koen Ronbunshu.* 2002. V. 8. P. 555–556.
12. **Kaloni P. N., Lou J. X.** Nonlinear convection of a viscoelastic fluid with inclined temperature gradient // *Phys. Rev. E.* 2006. V. 73. 066310.
13. **Simanovskii I., Nepomnyashchy A., Shevtsova V., et al.** Nonlinear Marangoni convection with the inclined temperature gradient in multilayer systems // *Phys. Rev. E.* 2006. V. 73. 066310.
14. **Ortiz-Pérez A. S., Dávalos-Orozco L. A.** Convection in a horizontal fluid layer under an inclined temperature gradient // *J. Phys. Fluids.* 2011. V. 23. 084107.
15. **Peng Zhu, Li Duan, Qi Kang.** Transition to chaos in thermo capillary convection // *Intern. J. Heat Mass Transfer.* 2013. V. 57. P. 457–464.
16. **Mizev A. I., Schwabe D.** Convective instabilities in liquid layers with free upper surface under the action of an inclined temperature gradient // *Phys. Fluids.* 2009. V. 21. 112102.
17. **Medale M., Cochelin B.** A parallel computer implementation of the asymptotic numerical method to study thermal convection instabilities // *J. Comput. Phys.* 2009. V. 228. P. 8249–8262.
18. **Patankar S. V.** Numerical heat transfer and fluid flow. Washington: Hemisphere, 1980.

*Поступила в редакцию 9/І 2014 г.,
в окончательном варианте — 3/VI 2015 г.*
